

تقدير التغير المكاني لصلابة سطح التربة تحت نظامي الري بالرش المحوري والثابت في تربة جبسية

سحر نصیر موسى و عبد الوهاب عبدالرازاق القيسی

جامعة تكريت - كلية الزراعة - قسم علوم التربة والموارد المائية

الخلاصة:-

نفذت تجربة حقلية لغرض تقدير التغير المكاني لصلابة سطح التربة تحت نظامي الري بالرش الثابت و المحوري في تربة جبسية. تم قياس مقاومة التربة للاختراق والمحتوى الرطبوى الحجمي للتربة في نقاط ضمن شبكة قياس ببعد 90 × 90 م وبلغت المسافة بين محطات القياس 15 م. تم تحليل النتائج بطرائق الاحصاء التقليدي ومفاهيم الاحصاء الجيولوجي. اظهرت نتائج التحليل عدم توزيع قيم مقاومة التربة للاختراق والمحتوى الرطبوى الحجمي للتربة توزيعاً عشوائياً حسب مفاهيم الاحصاء التقليدي اذ كان مقدار الانحراف (Skew) لمقاومة التربة للاختراق تحت نظامي الري بالرش المحوري والري بالرش الثابت 0.48 و 0.55 على التوالي مما يشير الى توزيع لوغاريتmic منحرف نحو اليمين لحالتي الري بالرش المحوري و الثابت مما يشير الى وجود تغير مكاني.اما مقدار الانحراف (Skew) لرطوبة التربة الحجمية تحت نظامي الري بالرش المحوري والري بالرش الثابت 0.47 و -0.22 على التوالي مما يشير الى توزيع لوغاريتmic منحرف نحو اليمين لحالات الري بالرش المحوري وتوزيع لوغاريتmic منحرف نحو اليسار لحالات الري بالرش الثابت مما يشير ايضاً الى وجود تغير مكاني.بينت نتائج مخطط الارتباط الذاتي (Autocorrogram) وجود علاقة ارتباط ذاتي بين قيم مقاومة التربة للاختراق و محتوى التربة الرطبوى الحجمي تحت نظامي الري بالرش الثابت و المحوري وبلغت مسافة التأثير (Range of influence) 45 م.بينت نتائج مخطط التباين (Variogram) ونتائج مخطط التباين المتدخل (Cross- Variogram) بين مقاومة التربة للاختراق و رطوبة التربة الحجمية ان مجال التأثير بلغ 75 م لصفات التربة المدروسة ولنظامي الري بالرش المحوري و الثابت.

الكلمات الدالة :
صلابة ، ترب
جبسية

للمراسلة :
سحر نصیر موسى
قسم علوم التربة
والموارد المائية -
كلية الزراعة -

الاستلام:

القبول :

Estimating The Spacial Variation Of The Hardness Of Surface Soil Under Both Fixed And Pivotal Sprinkler Irrigation Systems In Gypsic Soil

Sahar Naseer Mousa and AL-Kayssi A. W.

University of Tikrit - College of Agriculture- Soil Science and water Resources Department

Abstract

Key Words:
Soil , surface

Correspondence:
Sahar Naseer
Mousa
Dept. of Soil and
Water Sciences -
College of
Agriculture -
Tikrit University

Received:

Accepted:

A field experiment was conducted for the purpose of estimating the spatial variation of the soil surface hardness under sprinkler of fixed and pivotal irrigation systems in the gypsum soil. Measuring soil resistance was done by penetrometer and volumetric moisture content of the soil at points within the measuring network with a dimensions of 90 × 90 m and reached the distance between the measuring stations 15m. Results were analyzed in the ways that measure the traditional statistics and the concepts of geological statistics. The result of analysis showed not to distribute the values of soil resistance to penetration and soil moisture distributed randomly according to the concepts of the traditional statistics of skew values amounted to resist the penetration of the soil under sprinkler of fixed and pivotal irrigation systems to 0.48 and 0.55 respectively and the distribution of the logarithmic oblique to the right for both sprinkler irrigation systems, which also indicates the existence of spatial variation. The amount of skew of volumetric soil moisture under sprinkler of fixed and pivotal irrigation systems 0.47 and -0.22, respectively, where the values distributed as a logarithmic distribution and by the deviation to the right under sprinkler of pivotal irrigation system, and the distribution of the logarithmic oblique to the left under sprinkler of fixed irrigation system, indicating the existence of spatial variation.. The results of autocorrelogram outlined the presence of a subjective correlation between the qualities of the studied physical soil (soil resistance to penetration and volumetric moisture content of soil) under sprinkler of fixed and pivotal irrigation systems, and the range of influence amounted to 45m. The results of variogram outlined the effect area amounted to 75m to the qualities of the studied soil and sprinkler of fixed and pivotal irrigation systems, and the results showed the existence of spatial variation amounted to 75m for both sprinkler of fixed and pivotal irrigation systems.

البحث مستل من رسالة الماجستير للباحث الاول

المقدمة

وآخرون 1996]. لطريقة الري المستخدمة ونوعية مياه الري اثر كبير في خصائص التربة الفيزيائية (مقاومة التربة للاخترار)، محتوى التربة الرطبوبي و كثافة التربة الظاهرية) ومن الملاحظات الاولية ان التربة الرطبة تكون اقل عرضة لعوامل الانكمash والتمدد (والتي تحصل نتيجة لاختلاف درجات الحرارة) من نظيرتها التربة الجافة كما ان تقلص التربة يزداد بزيادة المحتوى الرطبوبي إذ ان مقدار وتأثير التمدد والانكمash يكون مترابطاً مع محتوى التربة الرطبوبي ويتغير معه طردياً كما ان مقاومة التربة للاخترار وصلابتها تقل مع زيادة محتوى التربة الرطبوبي (Kanwar و آخرون 2011). نتيجة للارتباط الكبير بين مقاومة التربة للاخترار وخصائص التربة فان نتائج الدراسات والتحاليل لا تكون دقيقة اذا ما اجريت فحوصات مقاومة التربة للاخترار دون الاخذ بنظر الاعتبار تاثير خصائص التربة المختلفة (المحتوى الرطبوبي، الكثافة الظاهرية، بناء التربة) ولنفس الموقع، لذا فان محتوى التربة الرطبوبي و مقاومة التربة للاخترار يجب ان تفاصي آلياً وبنفس الوقت والمكان كي تكون النتائج اكثرا دقة وواقعية (Hompas و Vas 2001) . وجد دوغرامه جي و آخرون (1994) ان العلاقة بين مقاومة التربة للاخترار والمحتوى الرطبوبي هي علاقة عكسية اذ تؤدي زيادة المحتوى الرطبوبي للتربة الى خفض قيم مقاومه التربة للاخترار نتيجة لزيادة سمك الغشاء المائي حول دقائق التربة والذي يؤدي دوره الى تقليل كل من قوى التماس والتلاصق بين دقائق التربة والماء وتسهيل عملية ازلاق دقائق التربة بعضها فوق البعض واضعاف مقاومتها للاخترار في حين ان جفاف التربة يساعد على إعادة ترتيب الحبيبات وتقربها من بعضها التي تتسبب في زيادة قيم مقاومة التربة للاخترار.

لذا فان دراسة تاثير التغير المكاني لخصائص التربة الفيزيائية (مقاومة التربة للاخترار و المحتوى الرطبوبي للتربة) تحت نظامي الري بالرش الثابت والممحوري تعد مهمة ، وعليه فان هدف هذه الدراسة هو :

1- دراسة تاثير التغير المكاني لمقاومة التربة للاخترار تحت نظامي الري بالرش الثابت والممحوري في تربة جبسية فضلاً عن دراسة علاقه مقاومة التربة للاخترار بالمحتوى الرطبوبي.

2- استخدام مفاهيم الاحصاء الجيولوجي في دراسة وتقدير التغير المكاني لصفات التربة الفيزيائية المدروسة واستبيان الانموذج الرياضي المناسب لوصف كل صفة من الصفات المدروسة وتحديد مجال التاثير لكل صفة من صفات التربة المدروسة.

المواد وطرق البحث

ان استخدام انظمة الري الحديثة (الري بالرش والري بالتنقيط) يقلل من مشاكل عديدة أهمها الملوحة وارتفاع مناسب بالياه الجوفية ويعالج مشكلة ندرة المياه لكونها ذات كفاءة ارواء عالية مقارنة بطرائق الري التقليدية. من محددات نظام الري بالرش تاثير قطرات الماء التي تسقط بطاقة عالية وترتبط بمجاميع التربة (Soil aggregates) مؤدية الى تشتتتها الى دقائق منفردة، ويرى بعض الباحثين ان تاثير الري بالرش في تدهور بناء التربة ناتج من الفعل الميكانيكي ل قطرات ماء الري Shainberg والتي تعد سبباً مباشراً في تحطيم مجاميع التربة (Shainberg و آخرون 1992). يؤدي استخدام انظمة الري بالرش الى ظهور مشكلة التصلب السطحي للتربة كنتيجة لتحطم تجمعات التربة بفعل قطرات ماء الري بالرش. تباين مشكلة التصلب السطحي باختلاف نظم الري بالرش (الري بالرش المحوري و الري بالرش الثابت) نتيجة لتباين المواصفات النوعية ل قطرات ماء الري بالرش المبنية من جهة وتاثيرها في خصائص التربة الفيزيائية المختلفة ويكون هذا التاثير متغيراً حسب موقع التربة ضمن نظام الري بالرش. ذكر Rose (1961) ان اصطدام قطرات ماء الري بالرش بسطح التربة يؤدي الى تدهور وتحطيم بنائها، كما ان جزءاً من دقائق التربة تفصل وتتاثر بتاثير الطاقة الناتجة عن طاقة القطرات. ينشأ تغير خصائص التربة في جميع الاتجاهات في الحقول نتيجة لتدخل عمليات تكوين التربة إذ تظهر التربة تغایراً مکانیاً كما تؤثر عوامل الطبيعة (امطار، رياح براكين،... الخ) والترکمات البيئية في تغير خواص التربة خلال تكوينها فضلاً عن التأثيرات الناتجة من العمليات الزراعية مما ينتج عنه نظام تربة متغير وغير متجانس (Veronese و آخرون 2005). ولكن التربة وسطاً متغيراً الخواص في جميع الاتجاهات فان تغيرها بكل الاتجاهين العمودي والافقى أمر واقع ولا يمكن اهماله (Rogowski و Zaslavsky 1969). وفترط طرائق الاحصاء الجيولوجي وسائل مفيدة لتقدير التغيرات المكانية لخصائص التربة كما ان استخدامها بدأ بالتزاييد وبشكل ملحوظ في السنوات الاخيرة من قبل علماء التربة والمهندسين الزراعيين على وجه الخصوص (Oliver و Webster 2001) فضلاً عن أن طرائق الاحصاء الجيولوجي أخذت تستخدم بشكل واسع وبأفضلية في تقييم الإدارة النوعية للحقول الزراعية من خلال طريقة وموقع اخذ النماذج، وتقدير نوع الإدارة البذلوجية المناسبة للتربة وتنقييم نتائج الفحوصات (Jabro و آخرون 2010). خلال العقود الاخيرين أخذت دراسات وأبحاث التغير الموقعي معبراً عنها بمخطط الارتباط (correlogram) لمختلف خصائص التربة في الحقول الزراعية جانباً مهماً ومتزايداً من الاهتمام باستخدام مفاهيم الاحصاء الجيولوجي من خلال تقدير التغير المكاني [Guo-shun Fulton و آخرون 2008]

مساحة من كل حقل بابعاد 90×90 م و قسمت الى شبكة بابعاد 15×15 م وبلغ عدد محطات القياس 49 محطة في كل قطعة. تم قياس مقاومة التربة للاختراق في كل نقطة من النقاط باستخدام جهاز مقاومة الاختراق الرقمي (Digital-static cone penetrometer) موديل (Hs-4210) اخذت قراءات مقاومة التربة للاختراق بعد عملية رى الارض بخمسة ايام. قدرت نسبة الرطوبة بالطريقة الوزنية في كل محطة من محطات القياس بعد قياس مقاومة التربة للاختراق مباشرةً . كما تم تقيير بعض الخصائص الفيزيائية والكيميائية تربة الدراسة لموععي الري بالرش الثابت والمحوري وحسب الطرق الواردة في (Blake 1965) (الجدول 1) ادناه

جدول 1: بعض الخصائص الفيزيائية والكيميائية لترابة موقع الدراسة المروي بطريقتي الري بالرش المحوري و الثابت

القيمة	الوحدة	الخاصية
S.C.L	S.C.L	-
510	(غم/كم)	النسجة
285	(غم/كم)	الرمل
205	(غم/كم)	الغرين
2.12	(ديسيمتر/م)	الطين
7.24	-	التوصيل الكهربائي
125.4	(غم/كم)	pH (الأسم الهيدروجيني)
84.0	(غم/كم)	كربيونات الكالسيوم
6.5	(غم/كم)	الجبس
8.57	(سنتمول/كم)	المادة العضوية (غم/كم)
37.0	(سنتمول/لتر)	السعة التبادلية للايونات الموجبة
12.0	(سنتمول/لتر)	الايونات الذاتية (سنتمول/لتر)
1.6	(سنتمول/لتر)	الكالسيوم
1.8	(سنتمول/لتر)	المغذيسيوم
Nill	(سنتمول/لتر)	الصوديوم
1.6	(سنتمول/لتر)	اليوتاسيوم
1.7	(سنتمول/لتر)	الكاربونات
37.9	(سنتمول/لتر)	البيكاربونات
		الكلور
		الكبريتات

إذ:

x : قراءات المحطات، n : عدد المحطات.

2- الانحراف المعياري:

تم حساب دالة الانحراف المعياري σ للمحطات وكل صفة من صفات التربة الفيزيائية المدروسة (مقاومة التربة للاختراق و المحتوى الرطوبى الحجمي للتربة) بموجب القانون الآتى :

$$\sigma = \left[\frac{\sum (x_i - \bar{x})^2}{n-1} \right]^{1/2} \dots \dots \dots (2)$$

إذ:

استخدمت طرق الاحصاء التقليدي الواردة في الرواوى (

(1984) والاحصاء الجيولوجي لتقدير التغير المكاني (spatial variation) الواردة في Warrick وآخرون (1986) إذ تم تقدير معايير الاحصاء التقليدي الآتية:-

1- الوسط الحسابي:

تم حساب معدل القراءات \bar{x} للمحطات وكل صفة من صفات التربة الفيزيائية المدروسة (مقاومة التربة للاختراق والمحتوى الرطوبى الحجمي للتربة) بموجب القانون الآتى:

$$\bar{x} = \frac{\sum x}{n} \dots \dots \dots (1)$$

استخدام برنامج MathCAD 7.14 لحساب مخططات الارتباط الذاتي ومخططات التباين ومخططات التباين العكسية ورسم الخرائط الكنتورية لتوزيع خصائص التربة المدروسة ضمن منطقة الدراسة.

النتائج والمناقشة

مقاومة التربة للاخترق و محتوى التربة الرطوبي الحجمي

يوضح الشكل 1 توزيع مقاومة التربة للاخترق و محتوى التربة الرطوبي الحجمي على طول المسار (transect) الذي بلغ طوله 720م تحت نظام الري بالرش المحوري (شكل 1-ا) والري بالرش الثابت (شكل 1-ب). يلاحظ من الشكل 3 تذبذب توزيع مقاومة التربة للاخترق على طول المسار تحت نظامي الري بالرش المحوري (شكل 1-ا) والري بالرش الثابت (شكل 1-ب) أذ بلغ معدل قيم مقاومة التربة للاخترق 177.45 و 174.6 كيلو باسكال تحت نظامي الري بالرش المحوري والري بالرش الثابت على التوالي. و يلاحظ تذبذب توزيع المحتوى الرطوبي على طول المسار تحت نظامي الري و بلغ معدل المحتوى الرطوبي الحجمي تحت نظام الري بالرش المحوري (شكل 1 - ب) 16.91 سم³. ويمكن ان تعزى زيادة المحتوى الرطوبي للترابة تحت نظام الري بالرش المحوري مقارنة بنظام الري بالرش الثابت الى وقوع عدد من نقاط القياس في مسار اطارات ابراج جهاز الري بالرش المحوري مما يؤدي الى تجمع الماء في هذه النقاط اكثر مما هو عليه في النقاط الاخرى بسبب انخفاض سطح التربة (نتيجة لرص التربة بفعل القل المسلط المتمثل بوزن البرج) في مسار الاطارات والتي تؤدي الى جعل المحتوى الرطوبي لهذه النقاط عالياً.

يلاحظ من الشكل 1 بوضوح انخفاض قيم مقاومة التربة للاخترق بارتفاع المحتوى الرطوبي الحجمي لموقع القياس كافة وتتفق هذه النتائج مع ما توصل اليه دوراغمه جي وآخرون (1992) أذ بيّنوا ان العلاقة بين مقاومة التربة للاخترق والمحتوى الرطوبي هي علاقة عكسية. ان زيادة المحتوى الرطوبي تؤدي الى انخفاض قيم مقاومة التربة للاخترق نتيجة لزيادة سماك الغشاء المائي حول دقائق التربة الذي يؤدي الى تقليل كل من قوتي التماسك والتلاصق بين دقائق التربة والماء وتسهيل عملية انزلاق دقائق التربة فوق بعضها واضعاف مقاومتها للاخترق.

ويلاحظ من الشكل 1 ايضاً ان بعض مناطق الحقل المروري بطريقة الري بالرش المحوري وجود علاقة موجبة بين مقاومة التربة الاخترق و محتوى الرطوبة الحجمية للتربة اذ ازدادت مقاومة التربة للاخترق بزيادة الرطوبة الحجمية لمناطق الحقل القريبة من اطارات الابراج ويمكن ان يعزى ذلك الى

\bar{x} : معدل قراءات المحيطات، x_i : قراءات المحيطات و n : عدد المحيطات.

3- المنسوب: وهي القيمة التي تكرر اكثر من غيرها في البيانات

4- الوسيط: وهي القيمة التي تتوسط البيانات عند ترتيبها تصاعدياً او تناظرياً.

5- اختبار طبيعة التوزيع:

تم حساب دالة الالتواء (Skew) وكل صفة من صفات التربة الفيزيائية المدروسة (مقاومة التربة للاخترق و المحتوى الرطوبي الحجمي للتربة) بموجب العلاقة الآتية:

$$Skew = \frac{3(\bar{x} - median)}{\sigma} (3)$$

6- التغير: هو مقياس لقدر انحراف القيم عن القيمة الوسطى (المعدل) ويحسب من القانون الآتي:

$$s = \sqrt{\frac{\sum(x_i - \bar{x})^2}{n}} (4)$$

كما تم تقدير معايير الاحصاء الجبولجي الآتية :-

-1- مخطط الارتباط الذاتي (Autocorrelogram)

تم حساب دالة الارتباط الذاتي Autocorrelation

العلاقة الآتية: $P(h)$ (function) و مخطط التباين (correlogram) بموجب

$$\rho(h) = \left[\frac{1}{n(h)-1} \right] \sum_{n=1}^{n(h)} (z(x) - \bar{z})(z(x+h) - \bar{z}) / \sigma^2 (5)$$

إذ:-

σ^2 : معامل الانحراف، z : قيم المتغير المكانية، x : رقم المحطة، n : عدد المحيطات المكانية و \bar{z} : معدل قيم المتغير.

-2- مخطط التباين (Variogram):-

تم حساب مخطط التباين Variogram $\gamma(h)$ لكل صفة من صفات التربة الفيزيائية المدروسة (z) بموجب العلاقة الآتية:

$$\rho(h) = \left[\frac{1}{2n(h)} \right] \sum_{n=1}^{n(h)} (z(x_i + h) - z(x_i))^2 (6)$$

إذ:-

z : قيم المتغير المكانية، x : رقم المحطة و n : عدد المحيطات المكانية.

-3- مخطط التباين المتناضل (Cross-Variogram):-

تم حساب مخطط التباين المتناضل cross-varigram

$c(h)$ للعناصرتين Z (مقاومة التربة للاخترق) و M (المحتوى الرطوبي الحجمي للتربة) بموجب العلاقة الآتية:

$$c(h) = \left[\frac{1}{2n(h)} \right] \sum_{n=1}^{n(h)} (z(x_i + h) - z(x_i))(M(x_i + h) - M(x_i)) (7)$$

إذ:-

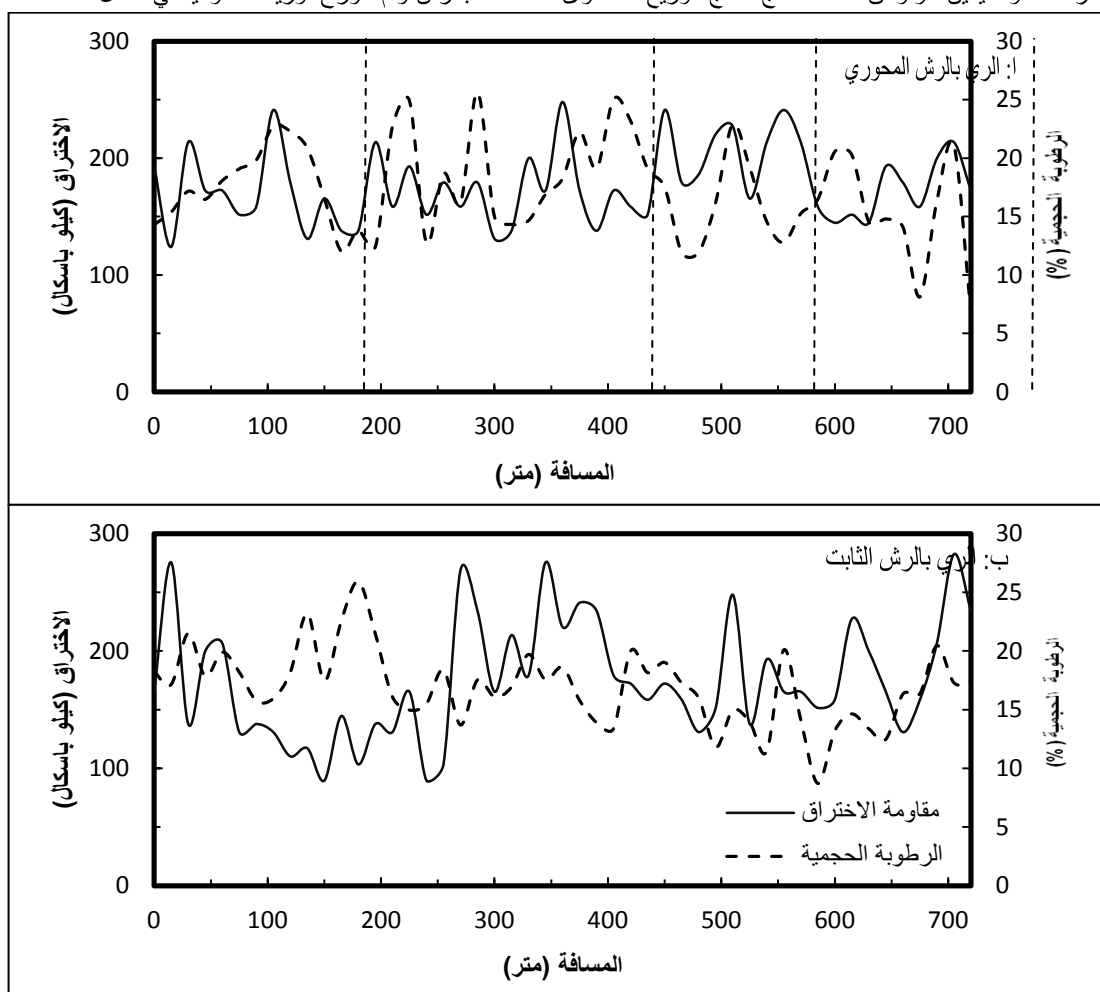
z_x : قيم مقاومة التربة للاخترق، M_x : قيم المحتوى الرطوبي الحجمي و x : رقم المحطة.

الرطobi الحجمي للترابة والتي لم تتوزع بدورها توزيعاً عشوائياً
وانما اظهرت تغابراً موقعاً.

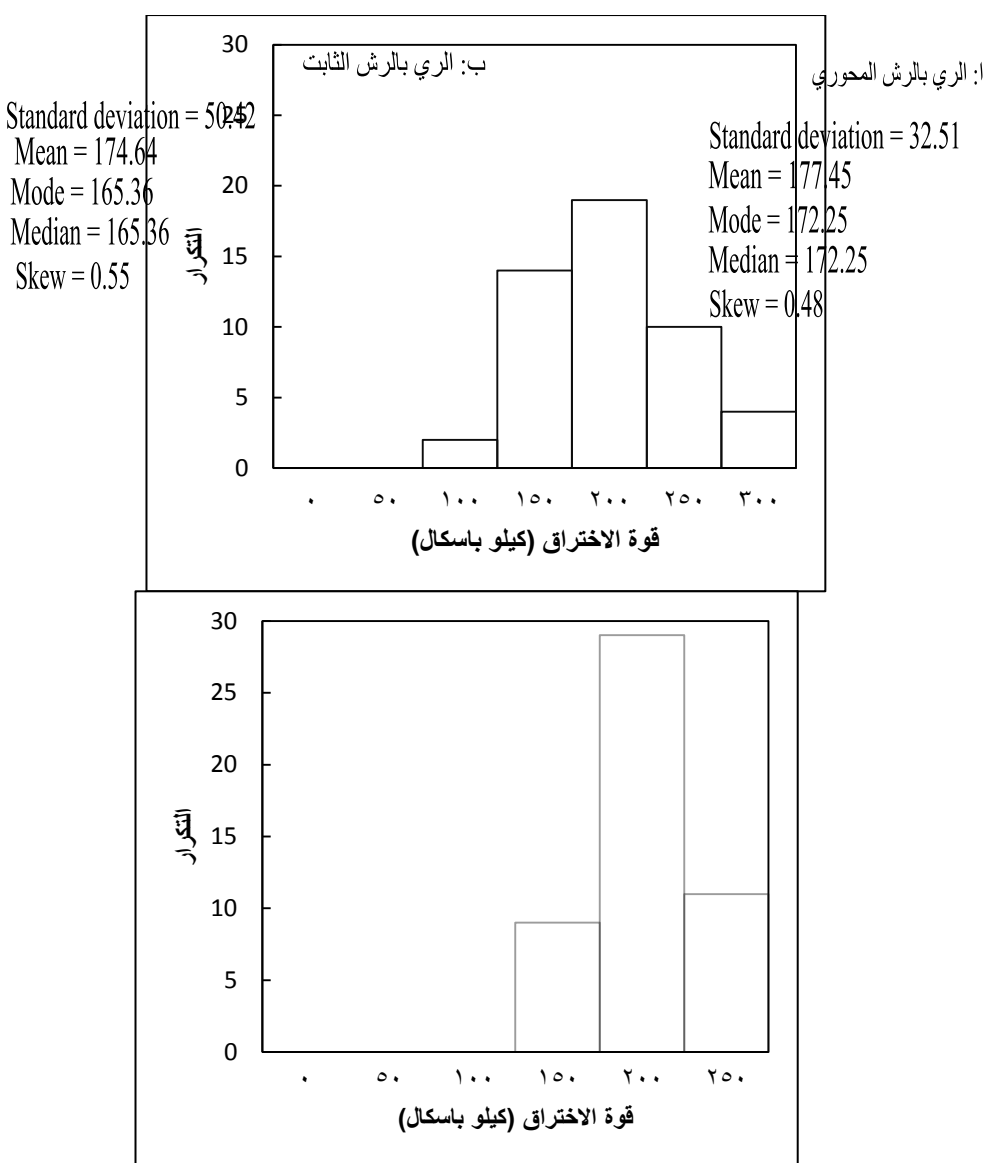
يوضح الشكل 3 المدرج التكراري لتوزيع الرطوبة الجوية على طول المسار تحت نظامي الري بالرش المحموري (شكل 3 - ا) والري بالرش الثابت (شكل 3 - ب) أذ يلاحظ من الشكل 3 - ا ان قيم المعدل والوسيط والمنوال 17.24 سم³ .سم⁻³ و 16.57 سم³ .سم⁻³ و 19.10 سم³ .سم⁻³ على التوالي وبانحراف قياسي مقداره 4.24 وبانحراف (skew) مقداره 0.47 والذى يبين ان توزيع القيم هو لوغاريتmic منحرف نحو اليمين بين الشكل 3 - ب ان مقدار المعدل والوسيط والمنوال 16.91 سم³ .سم⁻³ و 17.15 سم³ .سم⁻³ و 16.10 سم³ .سم⁻³ على التوالي وبانحراف قياسي مقداره 3.23 وبانحراف (skew) -0.22 والذى يظهر ان توزيع القيم هو لوغاريتmic منحرف نحو اليسار. ان هذه النتائج تشير الى وجود تأثير للتغيرات المكانية (الموقعي) لتوزيع الرطوبة تحت نظامي الري (Spatial variation) بالرش ولم تتوزع توزيعاً عشوائياً في الحقل.

وقوع نقاط القياس هذه في مجال مسارات اطارات ابراج جهاز الري بالرش المحوري والمؤشرة بخط منقط في الشكل 1 أذ تتعرض التربة في هذه الموضع الى الرص مما يؤدي الى رفع مقاومة الاختراق فيها.

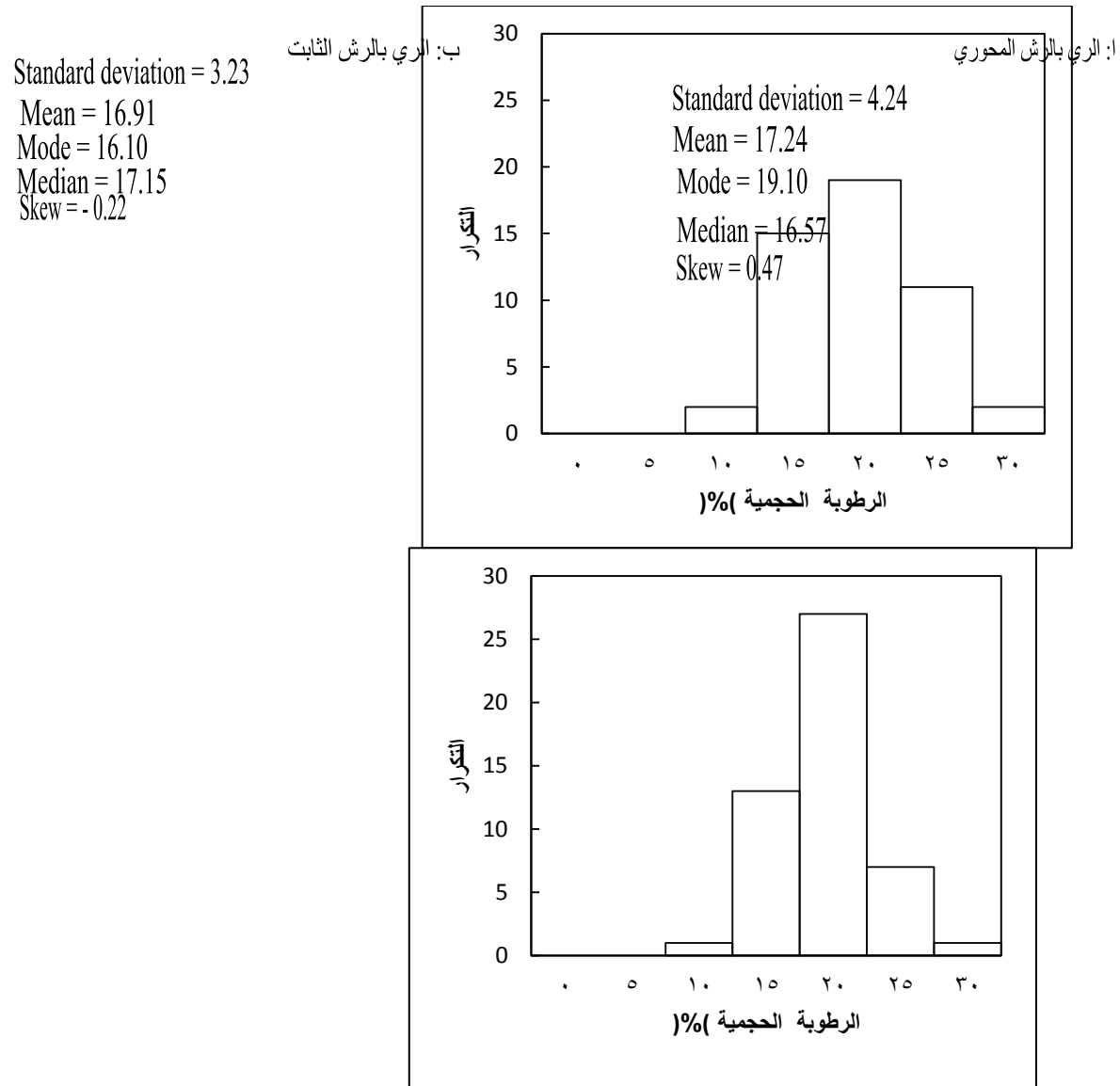
يوضح الشكل 2 المدرج التكراري للتوزيع قيم مقاومة التربة للاختراق تحت نظامي الري بالرش المحوري (شكل 2-ا) والري بالرش الثابت (شكل 2-ب) أذ يلاحظ من (شكل 2-ا) ان قيم المعدل والوسيط والمنوال 177.45 كيلو باسكال و 172.25 كيلو باسكال و 172.25 كيلو باسكال على التوالي وبانحراف قياسي مقداره 32.51 وبانحراف (skew) مقداره 0.48 والذي يشير ان توزيع القيم هو لوغارتمي منحرف نحو اليمين وبين (شكل 2-ب) ان قيم المعدل والوسيط والمنوال 165.36 كيلو باسكال و 165.36 كيلو باسكال و 165.36 كيلو باسكال على التوالي وبانحراف قياسي مقداره 50.42 وبانحراف (skew) مقداره 0.55 والذي يشير ان توزيع القيم هو لوغارتمي منحرف نحو اليمين. وتوافق هذه النتائج نتائج توزيع المحتوى



شكل 1: توزيع مقاومة التربة للاختراق والمحتوى الرطوبى الحجمي للتربة على طول المسار تحت نظام الري بالرش المحوري (١) والري بالرش الثابت (٢)



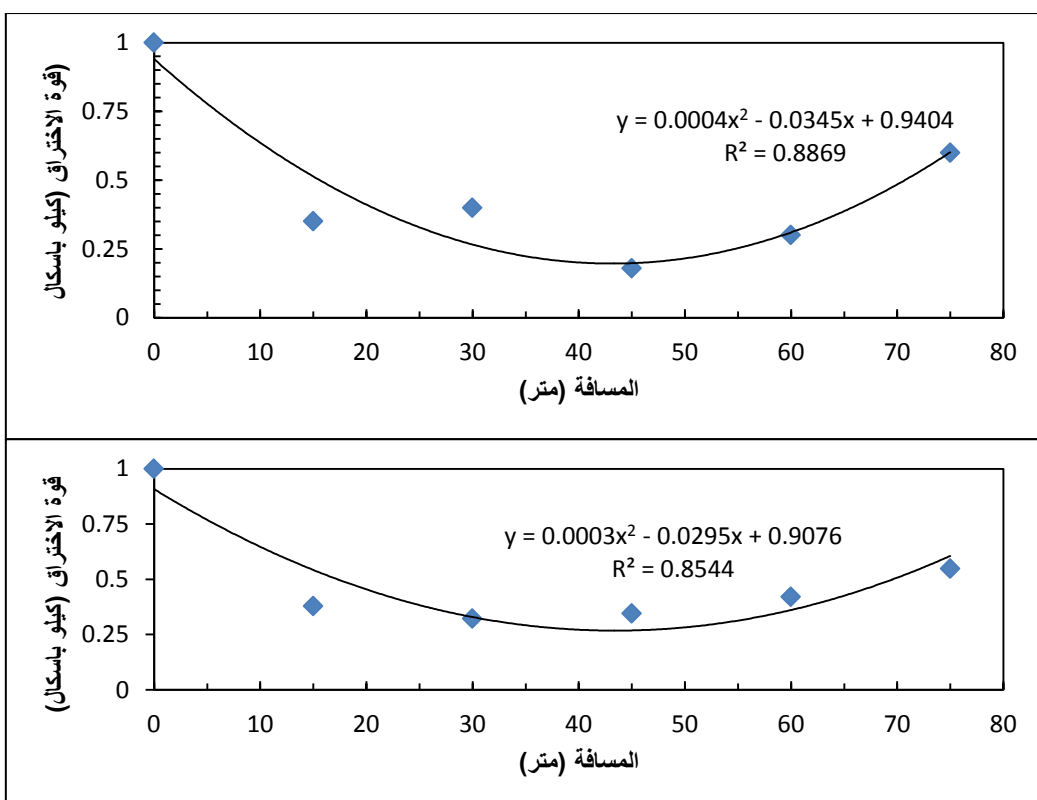
شكل 2: المدرج التكراري لمقاومة التربة للاختراق على طول المسار تحت نظام الري بالرش المحوري (ا) والري بالرش الثابت (ب)



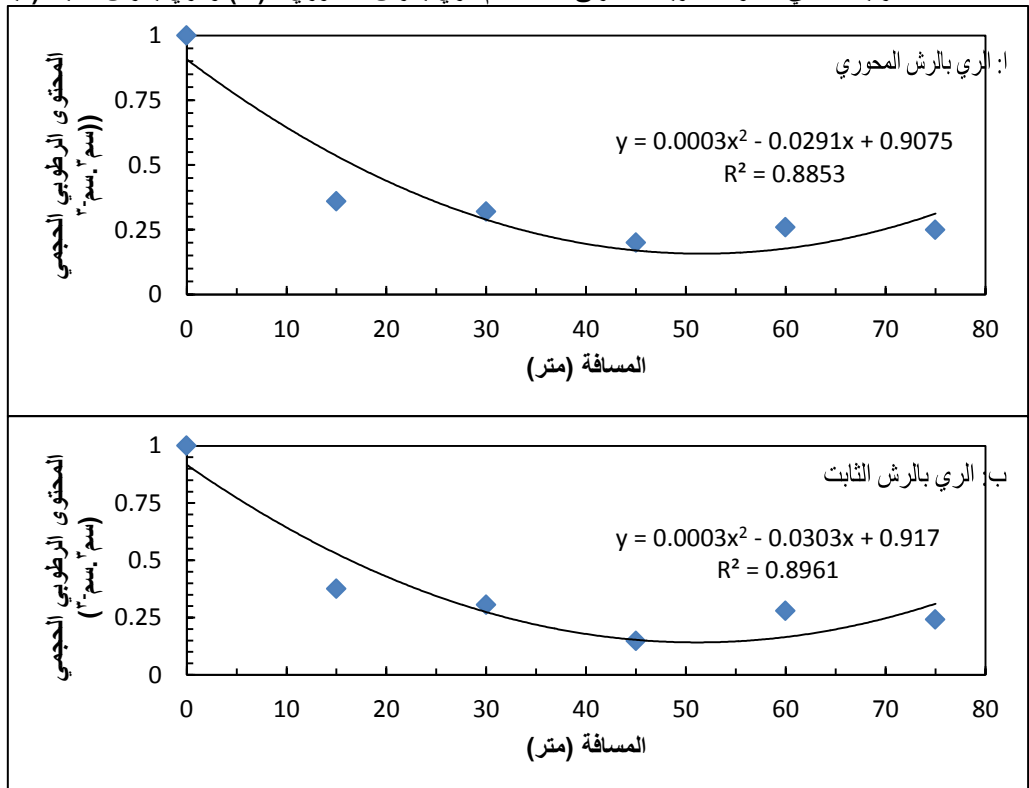
شكل 3: المدرج التكراري للرطوبة الحجمية للتربة على طول المسار تحت نظام الري بالرش المحوري (ا) والري بالرش الثابت (ب) مخطط الارتباط الذاتي : Autocorrlogram

للاختراق) تحت نظامي الري بالرش الثابت والمحوري وبلغت مسافة النأثير (Range of Influence) 45 م (Range of Influence). يبين الشكل 5 مخطط الارتباط الذاتي لقيم المحتوى الرطوبى الحجمي للتربة المروية بطريقة الري بالرش المحوري (شكل 4-ا) والري بالرش الثابت (شكل 4-ب). يلاحظ من الشكل 4-ا ان قيمة الارتباط الذاتي 0.9075 وانخفضت تدريجياً لنصل الى اوطأ نقطة بلغت 0.205 عند المسافة 45 م. وبين الشكل 4- ب ان اعلى قيمة للارتباط الذاتي لقيم المحتوى الرطوبى الحجمي تحت نظام الري بالرش الثابت كانت 0.917 وانخفضت لأدنى قيمة 0.161 عند 45 م ايضاً.

يوضح الشكل 4 مخطط الارتباط الذاتي لمقاومة التربة للاختراق تحت نظام الري بالرش المحوري (شكل 4-ا) والري بالرش الثابت (شكل 4- ب). ان اعلى قيمة للارتباط الذاتي تحت نظام الري بالرش المحوري شكل 4-ا بلغت 0.9404 وانخفضت لاوطأ قيمة 0.1979 عند مسافة 45 م. في حين بلغت اعلى قيمة للارتباط الذاتي لقيم مقاومة التربة للاختراق تحت نظام الري بالرش الثابت (شكل 4- ب) 0.9076 وانخفضت لاوطأ قيمة 0.1876 عند المسافة 45 م. يتضح من هذه المخططات وجود علاقة ارتباط ذاتي بين صفات التربة الفيزيائية المدروسة (محتوى التربة الرطوبى ، مقاومة التربة



شكل 4: مخطط الارتباط الذاتي لمقاومة التربة للاختراف تحت نظام الري بالرش المحوري (أ) والري بالرش الثابت (ب)



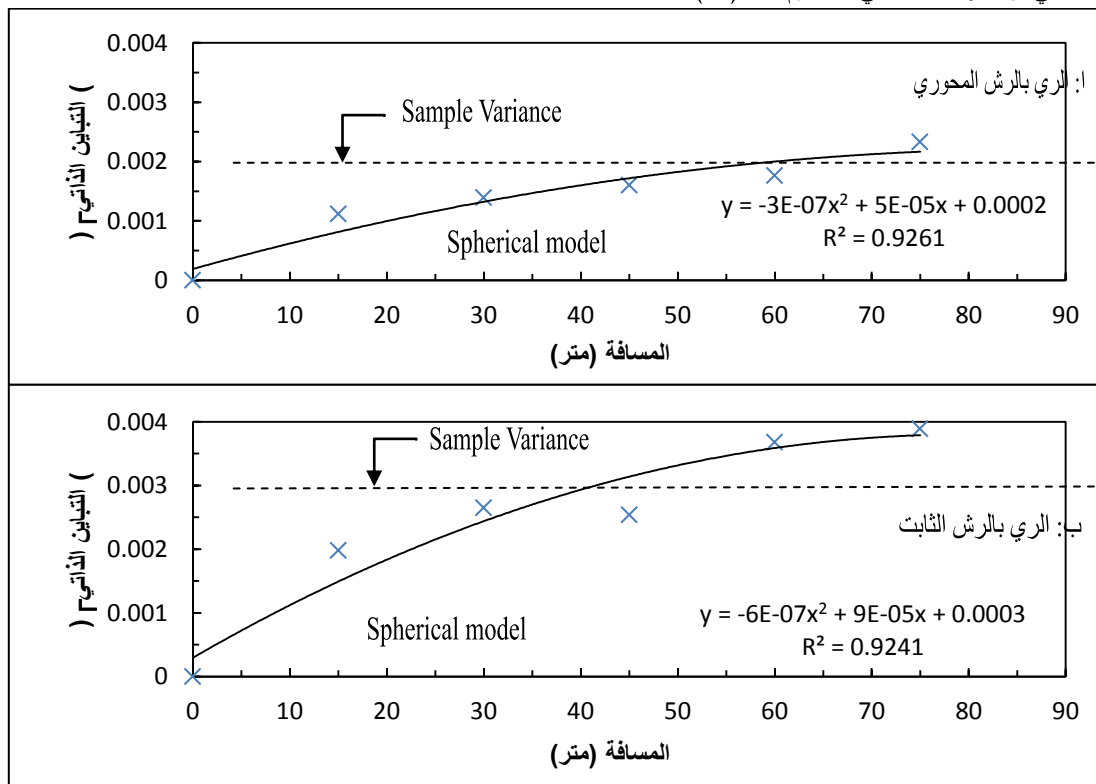
شكل 5: مخطط الارتباط الذاتي للمحتوى الرطوبـي الحجمـي للتربة تحت نظام الري بالرش المحوري (أ) والري بالرش الثابت (ب)

(شكل 6 - ب). أذ بلغت قيمة nugget 0.0002 و nugget ratio 0.002265 و sill 0.088 و sample variance 0.00193

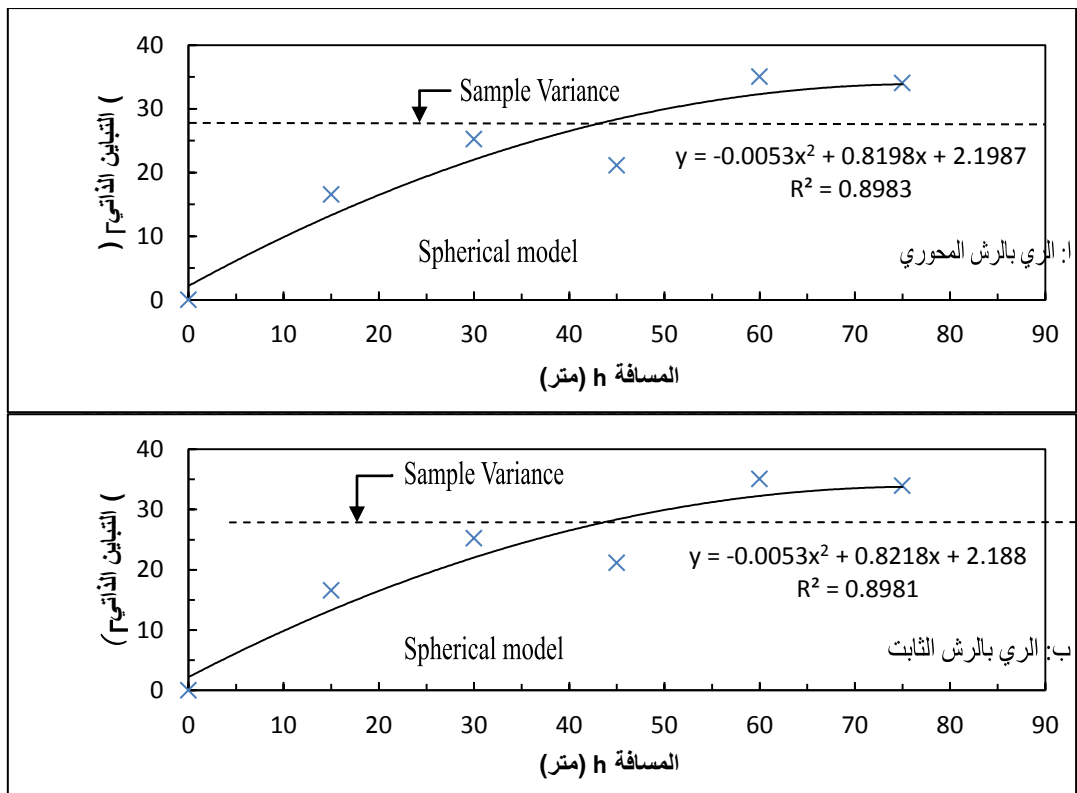
-: Variogram
الشكل 6 يبين مخطط التباين لمقاومة التربة للاختراف تحت نظامي الري بالرش المحوري (شكل 6 - أ) والري بالرش الثابت

القيمة النهائية المستقرة لمخطط التباين. أذ بلغت قيمة --- (nugget ratio) 2.188 و --- (sill) 33.9 و --- (sample variance) 0.065 و (sample variance) 0.065. يتضح من الشكل 29. انتظام التباين والتباين والذى يشير الى وجود ارتباط مكاني لغاية 75 م. nugget من ملاحظة نتائج المخططات نجد ان جميع قيم (ratio) اقل من 0.25 وهذا يشير الى وجود علاقة ارتباط مكاني قوية ولكن الصفات الفيزيائية المدروسة تحت نظامي الري بالرش المحوري والري بالرش الثابت وهذا موافق لما جاء به Cambardella وآخرون (1994). من خلال ملاحظة نتائج مخططي التباين للرطوبة الحجمية ومقاومة التربة للاختراق نجد ان قيمة الرطوبة الحجمية كانت اعلى من نظيراتها لمقاومة التربة للاختراق ولنفس المسافات وهذا يشير الى وجود علاقة ارتباط مقاومة التربة للاختراق والرطوبة الحجمية وعلى طول مسار الحقل وهذا موافق لما جاء به Jabro وآخرون (2010).

اما نتائج الري بالرش الثابت فقد كانت قيمة --- (nugget ratio) 0.003675 و --- (sill) 0.0003 و --- (sample variance) 0.0816 و (sample variance) 0.0031 كان --- (sample variance) 0.0816 نستنتج من الشكل 6 وجود ارتباط مكاني لصفات التربة الفيزيائية المدروسة اذ لم تتوزع توزيعاً عشوائياً في الحقل وذلك لعدم توافق الاحصاء التقليدي مع قيم مخطط التباين والذى يشير الى وجود ارتباط مكاني لغاية 75 م. يبيّن الشكل 7 مخطط التباين للمحتوى الرطوبوي الحجمي للتربة تحت نظامي الري بالرش المحوري (شكل 7 - ا) والري بالرش الثابت (شكل 7 - ب). بلغت قيمة مجال التأثير 75 م للمحتوى الرطوبوي الحجمي تحت نظامي الري بالرش المحوري والثابت اذ بلغت قيمة --- (nugget) 2.1987 و --- (sill) 33.8712 و --- (sample) 0.065 و --- (nugget ratio) 28.2 لري المحوري. تتمثل قيمة --- (variance) 28.2 لري المحوري. تتمثل قيمة --- (nugget) 0.065 التباين عند المسافة صفر ووجودها يشير الى اما الى مقياس الخطأ المنطقي او الارتباط المكاني. اما قيمة --- (sill) فانها تمثل



شكل 6: مخطط التباين (variogram) لمقاومة التربة للاختراق تحت نظام الري بالرش المحوري (ا) والري بالرش الثابت (ب)



شكل 7 : مخطط التباين (variogram) للمحتوى الرطوبى الحجمي للتربة تحت نظام الري بالرش المحوري (ا) والري بالرش الثابت (ب)

جدول 2: قيم مخطط التباين لخصائص التربة تحت نظامي الري بالرش المحوري والري بالرش الثابت

الصفة الفيزيائية	نوع نظام الري بالرش	nugget	sill	Sample variance
رطوبة التربة الحجمية	محوري	2.1987	33.8712	28.2
	ثابت	2.188	33.9	29
مقاومة التربة للاختراق	محوري	0.0002	0.002265	0.00193
	ثابت	0.0003	0.003675	0.0031

فقد كانت قيمة sill (nugget) وـ nugget على التوالي 2.6045 وـ 62.2 على التوالي.

من دراسة شكل مخطط التباين المتدخل لحالي الري بالرش المحوري والثابت وجد ان مجال التأثير في الحقلين كانا متماثلين ولكن نظامي الري بالرش المحوري والثابت لمحتوى التربة الرطوبى الحجمي ومقاومة التربة للاختراق ويعود ذلك الى التأثير المتبادل بين المحتوى الرطوبى الحجمي للتربة ومقاومة التربة للاختراق كان متماثل لنظامي الري بالرش كما ان تأثير نظامي الري بالرش كان له تأثير متماثل على خصائص التربة الفيزيائية المدروسة وعلاقتها مع بعضها.

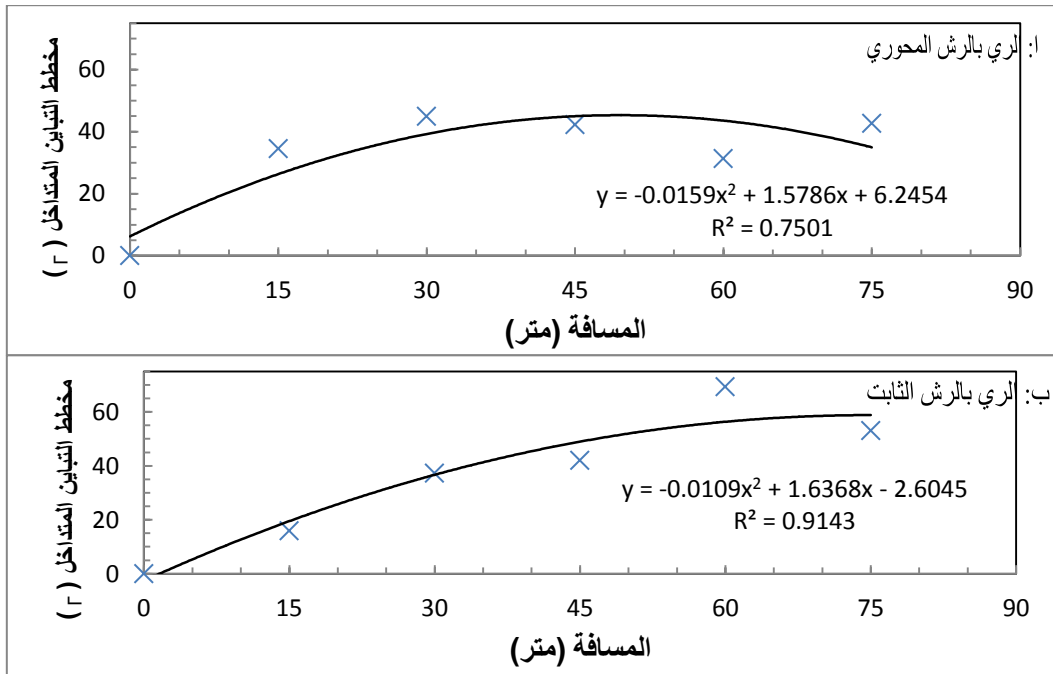
في حين نجد في بداية المنحنى قيمة nugget (sill) كانت لحالة الري بالرش المحوري اعلى من حالة الري بالرش الثابت الا ان

مخطط التباين المتدخل Cross - variogram

يبين الشكل 8 مخطط التباين الذاتي المتدخل (Cross - variogram) بين الرطوبة الحجمية ومقاومة التربة للاختراق تحت نظامي الري بالرش المحوري (شكل 8 - ا) والري بالرش الثابت (شكل 8 - ب). أذ بلغت قيمة مجل التأثير 75 م لمخطط التباين الذاتي المتدخل لرطوبة التربة الحجمية ومقاومة التربة للاختراق تحت نظامي الري بالرش المحوري والثابت قيمة sill (nugget) والـ nugget (sill) لمخططات التباين الذاتي المتدخل كانت قيمة sill (nugget) والـ nugget (sill) وكانت 6.2454 وـ 35 على التوالي تحت نظام الري بالرش المحوري اما لحالة الري الثابت

ابراج جهاز الري بالرش المحوري على بعض نقاط الحقل مما ادى الى انخفاض منسوب الارض في هذه النقاط وتجمع المياه فيها وبالتالي ارتفاع قيم المحتوى الرطوبى الحجمي لهذه النقاط.

وصول منحنى الري بالرش الثابت للقيمة العظمى (sill) كان اسرع من الري بالرش الثابت اي ان التأثير المتدخل لعلاقة بين رطوبة التربة الحجمية ومقاومة التربة للاختراق كانت اكثر تأثيراً وبشكل اسرع لحالة الري المحوري وذلك بسبب مرور اطراف



شكل 8 : مخطط التباين الذاتي المتدخل مقاومة التربة الاختراق و بين المحتوى الرطوبى الحجمي للتربة تحت نظام الري بالرش المحوري (ا) والري بالرش الثابت (ب)

جدول 3: قيم مخطط التباين الذاتي المتدخل بين المحتوى الرطوبى الحجمي للتربة و مقاومة التربة للاختراق تحت نظامي الري بالرش المحوري والري بالرش الثابت

Sill	Nugget	نوع الري بالرش	الصفة الفيزيائية
35	6.2454	محوري	مخطط التداخل بين مقاومة التربة للاختراق و رطوبة التربة الحجمية
62.2	-2.6045	ثابت	مخطط التداخل بين مقاومة التربة للاختراق و رطوبة التربة الحجمية

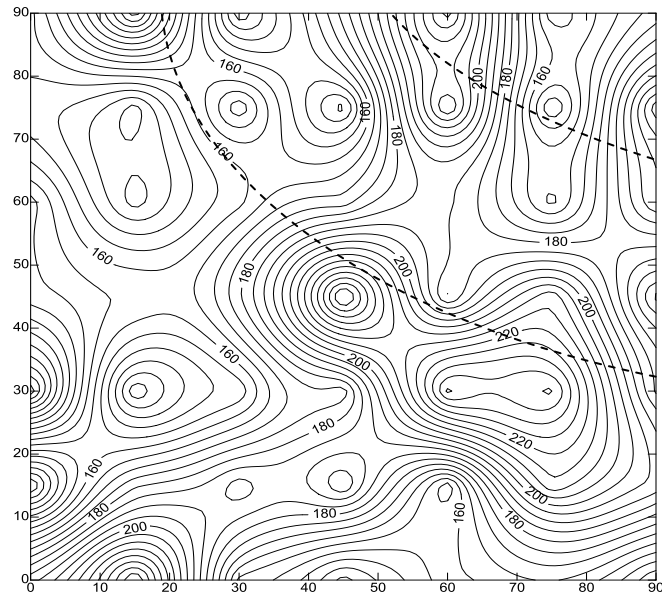
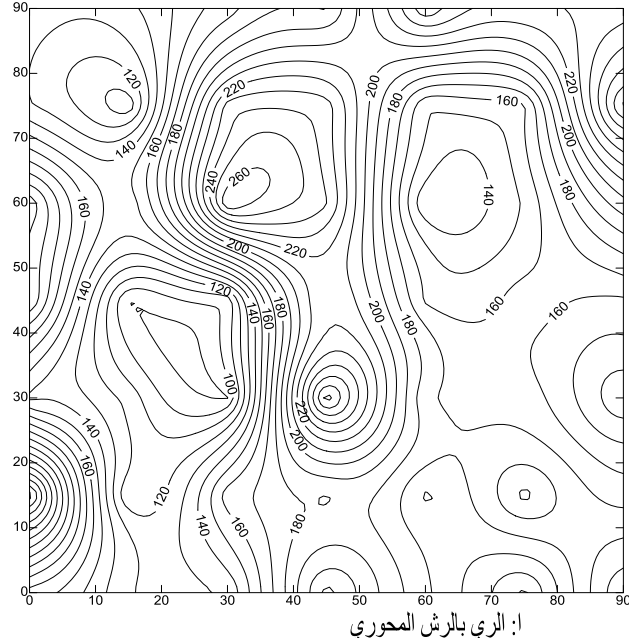
Auto corrlogram، Mخطط التباين Variogram، Mخطط التباين التباين المتدخل Cross Variogram . كما يوضح من الشكل 9 - ب التوزيع المنتظم لقيم مقاومة التربة للاختراق تحت نظام الري بالرش الثابت ولم تتوزع بشكل عشوائي ويتناقض هذا مع نتائج مخططات التباين والارتباط الذاتي (Mخطط الارتباط الذاتي Auto corrlogram ، Mخطط التباين المتدخل Variogram ، Mخطط التباين والارتباط الذاتي Cross Variogram).

:- Contour Diagram

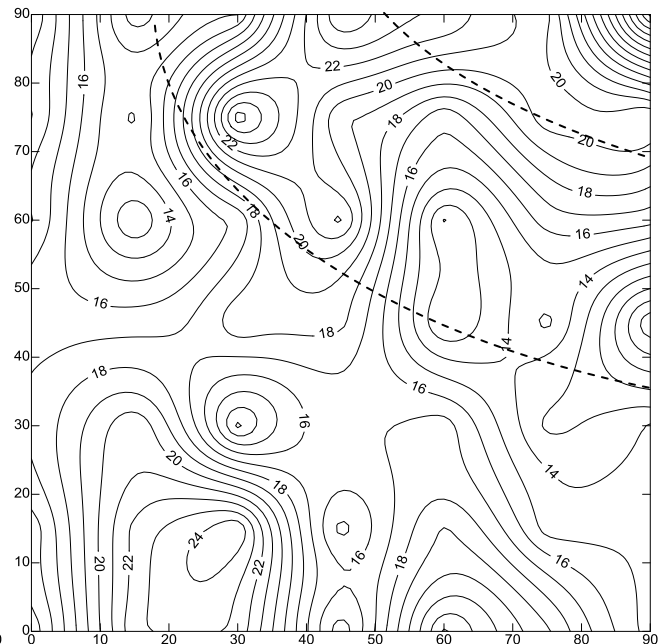
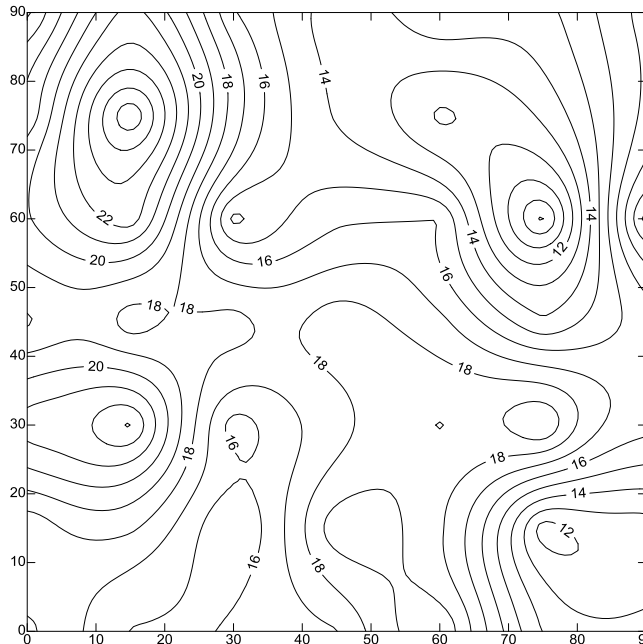
يبين الشكل 9 التوزيع الكنتوري لقيم مقاومة التربة للاختراق تحت نظامي الري بالرش المحوري (شکل 9 - ا) والري بالرش الثابت (شکل 9 - ب). أذ يلاحظ من الشکل 9 - ا التوزيع المنتظم لقيم مقاومة التربة للاختراق تحت نظام الري بالرش المحوري ولم تتوزع بشكل عشوائي ويتناقض هذا مع نتائج مخططات التباين والارتباط الذاتي (Mخطط الارتباط الذاتي)

الجمي تحت نظام الري بالرش المحوري ولم تتوزع بشكل عشوائي ويتوافق هذا مع نتائج مخططات التباين والارتباط الذاتي (مخطط الارتباط الذاتي Auto correlogram ، مخطط التباين Cross Variogram ، مخطط التباين المتداخل Variogram) .

من جهة أخرى يبيّن الشكل 10 التوزيع الكنتوري لقيم المحتوى الرطوبوي الجمي للتربة تحت نظام الري بالرش المحوري (شكل 10 - ا) والري بالرش الثابت (شكل 10 - ب). حيث يتضح من الشكل 10 - ا التوزيع المنظم لقيم المحتوى الرطوبوي



شكل 9: المخطط الكنتوري للتوزيع مقاومة التربة للاختراق على طول المسار تحت نظام الري بالرش المحوري (ا) والري بالرش الثابت (ب) [الخط المنقط يمثل مسار اطارات ابراج الري بالرش المحوري]



شكل 10: المخطط الكنتوري للتوزيع المحتوى الرطوبوي الجمي للتربة على طول المسار تحت نظام الري بالرش المحوري (ا) والري بالرش الثابت (ب) [الخط المنقط يمثل مسار اطارات ابراج الري بالرش المحوري]

المصادر

- دوغرمه جي ، وجمال شريف، وعبدالله نجم العاني، وعبدالخالق صالح الحديثي. 1994. تأثير محتوى الجبس في بعض الصفات الفيزيائية للتربة. مجلة العلوم الزراعية العراقية المجلد 25 العدد الاول.
- الراوي، خاشع محمود. 1984. المدخل الى الاحصاء. كلية الزراعة والغابات-جامعة الموصل.
- Blake C.A. 1965. Methods of Soil Analysis, Part 1. Amr. Soc. Of Agron. Inc. U.S.A.
- Cambardella, C. A., Moorman, T. B., Novak, J. M., Parkin, T. B., Karlen, D. L., Turco, R. F. and Konopka A. E. 1994. Field-scale Variability of soil Properties in central Iowa soils. *Soil Sci. Soc. Am. J.* 58, 1501-1511.
- Fulton, J. P., Wells, L. G., Shearer S. A., and Barnhisel R. I. 1996. Spatial Variation of soil physical properties: A precursor to precision tillage. ASCE Paper 961002.
- Guo-Shun, L., Xing-Zhong, W., Zheng-Yang, Z. and Chun-Hua, Z. 2008. Spatial Variability of soil properties in a tobacco field of central china. *Soil Sci.* 173(9): 659-667.
- Jabro, J. D., Stevens, W. B., Evans, R. G. and Iversen, W. M. 2010. Spatial Variability and correlation of selected soil properties in the Ap horizon of A CRP Grassland. *American Society of Agricultural and Biological Engineers.* 26(3): 419-428.
- Kanwar, R. S., Kumar, A. and Hallberg G. R. 2011. Modelling Spatial variability of saturated hydraulic conductivity using Fourier series analysis. *Hydrological Sciences Journal.* 39(2). 143-156.
- Rose, C. W. 1961. Rainfall soil structure. *Soil Sci.* 91: 49-54. epartment, federal University of Santa Maria, Santa Maria-Rs, Brasil.
- Shainberg, I., Levy, G. J., Rengasamy, P., and Frenkler. 1992. Aggregate stability and seal formation as affected by drops impact energy and soil amendments. *Soil Sci.* 145: 113-119.
- Soil Survey Staff 1999, Soil Taxonomy A basic system of soil classification for making and interpreting soil surveys, 2nd edition. Agricultural Handbook 436, Natural Resources Conservation Service, USDA, Washington DC, USA, pp. 869.
- Vas, C. M. P., and Hompans, J. W. 2001. Simulation measurement of soil strength and water content with a combined penetrometer-moisture probe. *Soil Sci. Soc. Am. J.* 65(1): 4-12.
- Veronese, V. J., Carvalho, M.P., Dafonte, J., Freddi, O.S. Vidal E. Vazquez, Ingaramo, O.E. 2005. Spatial Variability of soil water content and mechanical resistance of Brazilian ferralsol. *Soil & Tillage research.* Vol. 85(2): 166-177.